

## النماذج الحركية لدالة التحويل ومتعدد المدخلات

ظافر رمضان مطر\*  
الهام عبد الكريم حسين\*\*

### الملخص

تبرز أهمية نموذج دالة التحويل من خلال استخدام هذه الدالة في التكهن، وقد تم بناء النموذج بمتعددات متعددة لأهمية التعدد في بناء النماذج، اذ ان متعدد المدخلات يعطي نتائج افضل ذلك ان المدخلات المؤثرة في المخرجات والتي لها اهمية مستخدمة في تكوين النموذج، كلما كثرت كانت النتائج التي نحصل عليها اكثر دقة وكفاءة. تناولت الدراسة بناء نموذج دالة التحويل بطريقة نماذج الصندوق الاسود . فقد تم بناء عدة نماذج الرئيسية لنماذج الصندوق الاسود هي OE,BJ,ARMAX,ARX وكان النموذج الذي حقق نتائج جيدة هو نموذج BJ في ضوء عملية المقارنة على حزمة من المعايير الاحصائية والهندسية.

### Dynamic models for the transfer function and multi inputs

#### ABSTRACT

The importance of Transfer Function Model comes from its use in prediction . The model has been constructed with multi-inputs because of the importance of multi-input in constructing models. Such multi-inputs give better results because the more effective inputs are used , the more precise are the results.In order to get the best prediction , the study studies the construction of transfer function model by black box models.

استاذ مساعد/ عميد كلية علوم الحاسوبات والرياضيات/ جامعة الموصل

\*\* مدرس مساعد/ المعهد الفني /الموصل

تاریخ التسلیم : 2005/ 8/8 ————— تاریخ القبول : 2005/ 6/1

This method consists of constructing many models for the basic models of the black box Model,namely (ARX, ARMAX, BJ, OE ). The model which gave the best result was the model "BJ" depending , for comparison , on a group of statistical and geometrical standards .

## 1- المقدمة :

يُعتبر مفهوم دالة التحويل من المفاهيم الأساسية في النظم الحركية، حيث يتم التعامل مع هذه الدالة عندما يكون لدينا سلاسل زمنية متعددة، ومن ثم فان نموذج دالة التحويل يجمع بين ميزات نماذج ARIMA المنفردة وبعض ميزات تحليل الانحدار المتعدد، ويشار إلى هذا النموذج بالانحدار الذاتي والمتواسطات المتحركة لمتعدد المتغيرات Multivariate-Autoregressive Moving Average . Makridakis,et.al,1983) ويرمز له اختصاراً بـ MARMA إن تصميم النموذج يعتمد على البيانات المتأخرة والمعلومات الأخرى في العملية، لذلك فان القدرة التمثيلية للنموذج تعتمد على القدرة التمثيلية للبيانات ودقّة المعلومات المتأخرة والطريقة التي تستخدم بها المعلومات المتأخرة في النسخة (Kanjilal,(1995)) ، بمعنى ان النموذج يحتاج إلى بعض الأفكار حول كيفية ارتباط المتغيرات مع بعضها البعض حيث إن هذه العلاقة التي تكون على شكل إشارات Signals للتدخلات والمخرجات تسمى بنموذج النظام Model of The System . وفي اغلب الحالات تتأثر المخرجات بإشارات أخرى فضلا عن قياسات المدخلات يطلق عليها اشارات الازعاجات، وبافتراض ان الاشارات مرتبطة من خلال نظام خطى Linear System ، فإنه يمكن كتابة العلاقة :

$$y_t = G(Z)u_t + v_t \quad (1)$$

حيث إن:

$Z$  : تمثل عامل الازاحة الخلفي Backward Shift Operator بمعنى :

$$\begin{aligned} Zu_t &= u_{t-1} \\ Z^2u_t &= Z(Zu_t) \\ &= Z(u_{t-1}) \\ &= u_{t-2} \end{aligned}$$

. Transfer Function Of The System  $G(Z)$  : تمثل دالة تحويل النظام

وان:

$$G(Z) = \sum_{k=1}^{\infty} g(k) Z^k \quad (2)$$

وان  $G(Z)u_t$  تمثل اختصاراً لـ :

$$G(Z) u_t = \sum_{k=1}^{\infty} g(k) u_{t-k} \quad (3)$$

$g(k)$  : دالة الاستجابة النبضية للنظام Impulse Response of the System

$v_t$  : التشويش أو الإزعاج Noise or Disturbance:

$$v_t = H(Z) e_t \quad (4)$$

وبدمج المعادلتين (1-1) و (1-4) نحصل على المعادلة :

$$y_t = G(Z) u_t + H(Z) e_t \quad (5)$$

التي تمثل وصف النظام في مجال الزمن Time Domain وتمثل أيضاً النموذج الخطى العام (Ljung, 1999). الذى يصف التأثيرات المحددة Stochastic Effects والتأثيرات التصادفية Deterministic Effects  $y_t = G(Z)u_t$  (5) (يُنظر Nelles(2001) ) وإن الوصف الأساسي للمعادلة يمكن أن يستخدم في حالة تعدد المتغيرات Multivariate لنظم بإشارات مدخلات عديدة  $nu$  وإشارات مخرجات عديدة  $ny$  وفي مثل هذه الحالة فان  $G(Z)$  مصفوفة  $(ny*nu)$  و  $H(Z)$  مصفوفة  $(ny*ny)$  ويمكن وصف الدوال  $G$  و  $H$  كدوال ARX و rational functions النموذج المعلمى الشائع الاستخدام هو نموذج والذى يكون طبقاً لـ

$$G(Z) = Z^{nk} \left. \frac{B(Z)}{} \right\}$$

$$H(Z) = \frac{A(Z)}{B(Z)} \quad (6)$$

$$H(Z) = \frac{1}{A(Z)}$$

حيث إن  $A, B$  متعددات حدود Delay Operator Polynomials بعامل تأخير .  $Z$  هو.

$$\begin{aligned} na : A(Z) &= 1 + a_1 Z + \dots + a_{na} Z^{na} \\ nb : B(Z) &= b_1 + b_2 Z + \dots + b_{nb} Z^{nb+1} \end{aligned} \quad (7)$$

حيث إن  $nb, na$  تمثل رتب Orders متعددات الحدود و  $nk$  عدد فترات التأخير من المدخلات إلى المخرجات ( Ljung (1999) .

## 2- نماذج دالة التحويل :

يُعد تطوير النماذج الرياضية أول خطوة في عملية التصميم، وقد أشار Bishop (1997) إلى إن الخطوة الخامسة في عملية تصميم النظام هو تطوير نموذج رياضي كمي للنظام المراد السيطرة عليه . إن الاهتمام بالنماذج من الجانب الإحصائي ينصب بالدرجة الأساسية على نماذج دالة التحويل (Keman, 1987) أو ما يسمى بالنماذج الخارجية External Model لأنها تهتم بوصف سلوك المدخلات والمخرجات. وتتوافق عدة نماذج دالة التحويل يطلق عليها تسمية نماذج الصندوق الأسود ذكر منها (Ljung (1999) )

## 1- نموذج الانحدار الذاتي بمتغيرات خارجية المنشأ :

يسمى هذا النوع أيضاً "بنموذج الانحدار الذاتي المسيطر Controlled Auto-Regressive". إن X الملصقة في ARX تتعلق بتلك النماذج التي تشير إلى منهجية المتغير خارجي المنشأ Exogenous Variable المستخدمة في الأدبيات الاقتصادية لتعني المدخلات الخارجية إلى النظام (Davis, 1985). يعتبر النموذج المعلمي ARX الأكثر استخداماً، وبتعويض (6) في (5) نحصل على صيغة ARX :

$$A(Z)y_t = B(Z)u_{t-nk} + e_t \quad (8)$$

ويمكن التعبير عن النموذج (8) بصورة أوضح كما يأتي:

$$(1+a_1Z+\dots+a_{na}Z^{na})y_t = (b_1+b_2Z+\dots+b_{nb}Z^{nb+1})u_{t-nk} + e_t \quad (9)$$

$$y_t + a_1y_{t-1} + \dots + a_{na}y_{t-na} = b_1u_{t-nk} + b_2u_{t-nk-1} + \dots + b_{nb}u_{t-nk-nb+1} + e_t$$

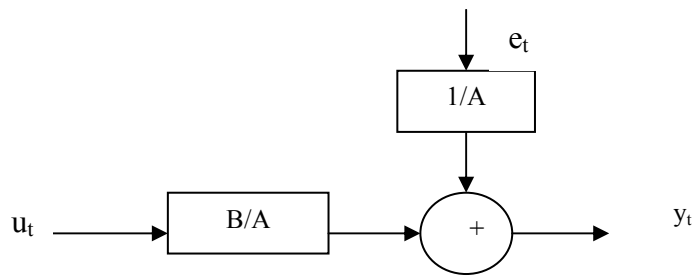
حيث ان nb, na رتب النموذج و nk زمن التأخير.

وينتمي نموذج ARX الى مجموعة نماذج خطأ المعادلة التي تميز بان المرشح  $A(Z)^{-1}$  مشترك في كل من نموذج العملية المحدد ونموذج التشويش التصادفي. (ينظر Nelles(2001)).

في حالة تعدد قنوات الإخراج ny و تعدد قنوات الإدخال nu تصبح  $A(Z)$  مصفوفة ذات بعد ny\*ny، كذلك تصبح  $B(Z)$  ومعاملات  $b_i$  مصفوفة ذات بعد ny\*nu . ويمكن وصف النماذج التي لها مدخلات عدة رياضياً بالشكل الآتي :

$$A(Z)y_t = B_1(Z)u_{1t-nk} + B_{na}u_{nat-nkna} + e_t \quad (10)$$

ويمكن تمثيل هذا النموذج عن طريق الصندوق الأسود:



الشكل(1) نموذج ARX

وفي الحالة الخاصة فانه عندما  $a_0 = 0$  نحصل على نموذج الاستجابة النسبية المحددة Finite Impulse Response الذي يرمز له اختصاراً بالرمز : FIR

$$y_t = B(Z)u_t + e_t \quad (11)$$

. وهو نموذج ARX بدون تغذية عكسية، بمعنى ان  $A(Z) \equiv 1$  . ( Nelles(2001),Ljung(1999) )

## 2- نموذج الانحدار الذاتي والمتوسطات المتحركة بمتغيرات خارجية المنشأ:

إن المعادلة (9) تحتاج إلى بعض المرونة لوصف خواص الإزعاج Disturbance، هذه المرونة يمكن إضافتها لوصف خطأ المعادلة كمتوسط متحرك للتشويش الأبيض بمعنى ان دالة التحويل للتشويش تصبح أكثر مرونة لاحتوائها على متعدد حدود متوسطات متحركة  $C(B)$  (ينظر Nelles,(2001) . بالتعويض في المعادلة (5) عن :

$$G(Z) = \frac{B(Z)}{A(Z)}, \quad H(Z) = \frac{C(Z)}{A(Z)}$$

حيث إن :

$$C(Z) = 1 + C_1Z + C_2Z^2 + \dots + C_{nc}Z^{nc} \quad (12)$$

نحصل على الصيغة الأكثر عمومية لنموذج ARMAX :

$$y_t = \frac{B(Z)}{A(Z)} u_t + \frac{C(Z)}{A(Z)} e_t \quad (13)$$

$$A(Z)y_t = B(Z)u_{t-nk} + C(Z)e_t$$

حيث إن  $nc, nb, na$  تمثل رتب النموذج و  $nk$  زمن التأخير.

يسمي النموذج (13) بنموذج الانحدار الذاتي والمت渥سطات المتحركة بمتغيرات خارجية المنشأ Auto Regressive Moving Average Exogenous Variables (Ljung , 1999). ويرمز لهذا النموذج  $-ARMAX$  إن نموذج ARMAX لا يستخدم مع حالة تعدد المخرجات - Multi Output . وحيث إن هذا النموذج هو الأكثر عمومية من بين النماذج فانه يمكن الحصول على حالات خاصة عديدة منه (Ljung,(1999), Sderstrm&Stoica,(1989))

أ-نحصل على نموذج الاستجابة النبضية المحدود Finite Impulse الذي يرمز له بالرمز FIR عندما  $na=nc=0$  أي إن Response

$$y_t = B(Z)u_{t-nk} + e_t \quad (14)$$

ب- عندما  $nc=0$  أي  $C(Z)\equiv 1$  نحصل على نموذج ARX

$$A(Z)y_t = B(Z)u_{t-nk} + e_t \quad (15)$$

ج- إذا لم تكن هناك قنوات مدخلات بل قناة مخرجات فقط أي أن  $(B(Z)\equiv 1), nb=0$  فسوف نحصل على نموذج الانحدار الذاتي والمت渥سطات المتحركة ARMA(p,q) :

$$A(Z)y_t = C(Z)e_t \quad (16)$$

حيث إن  $nc, na$ : رتب النموذج .

وإذا قُيدت  $A(Z)$  لكي تضم العامل  $(1-Z)^{-1}$  فان النموذج يسمى نموذج الانحدار الذاتي والمتواسطات المتحركة المتكاملة Auto Regressive Integrated . ARIMA(p,d,q) الذي يرمز له بالرمز Moving Average . نحصل على نموذج الانحدار الذاتي  $AR(p)$  عندما  $nb=nc=0$  وهو يمثل في هذه الحالة نموذج سلسلة زمنية نقية Pure Time Series بمعنى انه لا يوجد إشارة مدخلات حاليّاً ومن ثم فان :

$$A(Z) y_t = e_t \quad (17)$$

هـ - عندما  $na=nb=0$  أي  $A(Z)\equiv 1, B(Z)\equiv 1$  نحصل على نموذج المتواسط المتحرك Moving Average الذي يرمز له اختصاراً "MA(q)" :

$$y_t = C(Z)e_t \quad (18)$$

وـ يمكن نمذجة خطأ المعادلة في المعادلة (8) كانحدار ذاتي بدلـاً من المتواسط المتحرك كما في المعادلة (13) لكي نحصل على :

$$A(Z) y_t = B(Z) u_{t-nk} + \frac{1}{D(Z)} e_t \quad (19)$$

حيث إن :

$$D(Z) = 1 + d_1 Z + \dots + d_{nd} Z^{nd}$$

ويطلق على هذا النموذج الانحدار الذاتي - الانحدار الذاتي بمتغيرات خارجية Auto Regressive Auto Regressive with Exogenous المنشـأ

الذي يرمز له بـ ARARX حيث ان :

$$e_t = \frac{1}{D(Z)} \text{ يمثل جزء الانحدار الذاتي للتشويش .}$$

يـ - والحالة الخاصة من المعادلة (8) والمعادلة (13) والمعادلة (19) نحصل على نموذج الانحدار الذاتي - الانحدار الذاتي والمتواسطات المتحركة بمتغيرات خارجية المنشـأ Auto Regressive Auto Regressive Moving Average with Exogenous Variables الذي يرمز له بالرمز الممثل بالمعادلة : ARARMAX

$$A(Z) y_t = B(Z) u_{t-nk} + \frac{C(Z)}{D(Z)} e_t \quad (20)$$

### 3- نموذج خطأ الارجاع : Output-Error Model

يعرف هذا النموذج اختصاراً بـ "OE" حيث يمكن أن نلاحظ انه بالتعويض في المعادلة :

$$G(Z) = Z^{nk} \frac{B(Z)}{F(Z)}, \quad H(Z) \equiv 1$$

حيث إن :

$$F(Z) = 1 + f_1 Z + \dots + f_{nf} Z^{nf}$$

فإن :

$$\left. \begin{array}{l} y_t = G(Z) u_t + H(Z) e_t \\ y_t = \frac{B(B)}{F(B)} u_{t-nk} + e_t \end{array} \right\} \quad (21)$$

حيث  $nf, nb$  رتب النموذج و  $nk$  زمن التأخير.

ان هذا النموذج ينتمي الى مجموعة خطأ الارجاع، حيث انه في هذا النموذج وبشكل معاير لنموذج AR.. فان التشويش الابيض يدخل الى نموذج خطأ الارجاع بدون أي مرشح ولا يستخدم هذا النموذج في حالة تعدد المخرجات .

إن المعادلة (21) توصف في بعض الأحيان بتركيب خطأ المخرجات Output

Error لأنها تتضمن :

$$e_t = y_t - \frac{B(Z)}{F(Z)} u_{t-nk} \quad (22)$$

وهو خطأ المخرجات ، بمعنى آخر هو الفرق بين المخرجات المقاسة  $y_t$

(Model Output) ونموذج المخرجات (Measurable Output)

$$B(B)$$

$$u_{t-nk}$$

$$F(B)$$

( Nelles(2001) و Ljung(1999) و Sderstrm&Stoica, (1989) يُنظر )

#### 4- نموذج بوكس - جنكنز Box -Jenkins Model

يرمز له بـ  $BJ$  ويُعد هذا النموذج "طبيعاً" لنموذج خطأ الارجاع

حيث انه باضافة ترشيح التشويش الابيض في نموذج  $OE$  من خلال المرشح

$ARMA$  فان النموذج يُعرف على انه نموذج بوكس - جنكنز ، حيث انه

بالتعويض في المعادلة (5) عن:

( Nelles(2001) و Ljung(1999) يُنظر )

$$G(Z) = Z^{nk} \frac{B(Z)}{F(Z)}, \quad H(Z) = \frac{C(Z)}{D(Z)}$$

حيث إن :

$$D(Z) = 1 + d_1 Z + \dots + d_{nd} Z^{nd}$$

نحصل على صيغة نموذج  $BJ$  :

$$y_t = G(Z) u_t + H(Z) e_t$$

$$y_t = \underbrace{\frac{B(Z)}{F(Z)} u_{t-nk}}_{\text{أثر المدخلات}} + \underbrace{\frac{C(Z)}{D(Z)} e_t}_{\text{أثر الخطأ}} \quad (23)$$

حيث ان  $n$  رتب النموذج و  $nk$  زمن التأخير.

إن المعادلة (23) اقترحها وعالجها في عام (1970) من قبل Box and Jenkins ولا يستخدم هذا النموذج في حالة تعدد المخرجات .

### 3- الإزعاجات : Disturbances

بالنظر لأهمية الإزعاجات Disturbances وتأثيرها في النموذج تأثيراً كبيراً، يمكن توضيح هذا الجزء المهم الداخل في تكوين النموذج .  
نفرض انه لدينا المعادلة الآتية :

$$(24) \sum_{k=1}^{\infty} y_t = g(k) u_{t-k}$$

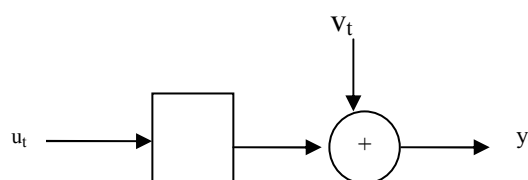
حيث إن :

$g(k)$  : تتمثل الاستجابة النبضية للنظام .

"بناء" على هذه العلاقة بالامكان الحصول على المخرجات من خلال معرفة المدخلات ، وعملياً "هذا ليس واقعياً" والسبب في ذلك هو انه يوجد دائماً إشارات تؤثر في السيطرة على النظام ، وعليه فان مثل هذا التأثير يمكن أن نصفه إلى المخرجات . ويرمز إلى هذا التأثير بـ  $v_t$  وبذلك يصبح النموذج في أعلاه كما يأتي

$$(25) \sum_{k=1}^{\infty} y_t = g(k) u_{t-k} + v_t$$

والشكل الآتي يوضح هذه العملية :



الشكل(2) : مخطط نظام الإزعاجات

يمكن أن تعود الإزعاجات إلى واحدة من الحالتين الآتتين :

1- التشويش المقاس : Measurmen Noise

هذا التشويش يمكن أن نشعر به كإشارات يمكن قياسها .

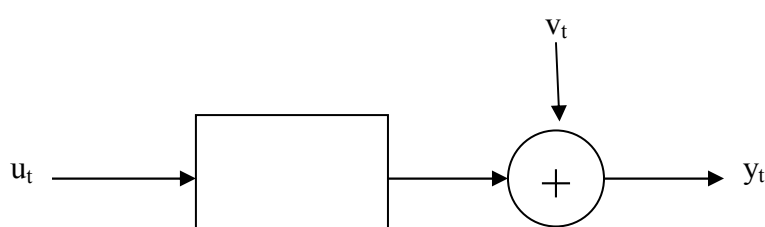
## 2- مدخلات غير قابلة للسيطرة: Uncontrollable Inputs:

اذ انه في هذه الحالة يتأثر النظام بمجموعة من الإشارات تكون على شكل مدخلات لايمكن السيطرة عليها ، مثل ذلك الطائرة التي تتحرك بمدخلات يمكن السيطرة عليها وهي دفة الطائرة والجنيح (وهو جزء متحرك من جناح الطائرة يُصطنع لحفظ التوازن الجنبي للطائرة) فضلا عن ان هذه المدخلات تتأثر الطائرة بمدخلات غير قابلة للسيطرة مثل الرياح والعواصف فضلاً عن الاضطرابات الجوية الأخرى.

ويمكن تصنيف الإزعاجات المقاسة إلى صنفين :  
اولهما: قد تكون الإزعاجات في بعض الحالات مقاسة قابلة للفصل، ففي هذه الحالة يمكن ملاحظتها عن طريق التأثير في المخرجات ، فإذا كانت الاستجابة النبضية معلومة فان القيمة الطبيعية للإزعاجات  $v_t$  يمكن حسابها من المعادلة الآتية و عند الزمن  $t$  :

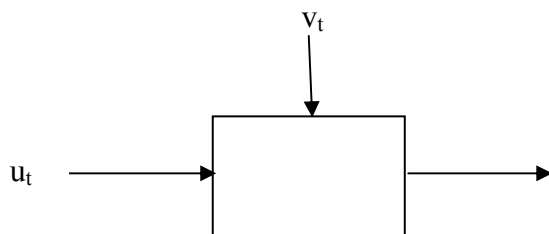
$$\begin{aligned} y_t &= \sum_{k=1}^{\infty} g(k) u_{t-k} + v_t \\ v_t &= y_t - \sum_{k=1}^{\infty} g(k) u_{t-k} \end{aligned} \quad (26)$$

بمعنى إن الإزعاجات تضاف إلى المخرجات كما في الشكل الآتي:



الشكل(3) : الإزعاجات  $v_t$  مضافة إلى المخرجات

والثاني: تكون المدخلات المقاسة في بعض الحالات إلى النظام على شكل تشویش يعمل على عدم تنقية النظام ويدخل عليه باعتباره قيمة إدخال مقاس كمدخلات طبيعية إلى العملية وكما موضح في الشكل (ينظر Ljung (1999)



الشكل(4) : الإزعاجات كمدخلات طبيعية

#### 4- معايير جودة النموذج :

ان اختيار النموذج المناسب والملائم عملية ليست سهلة فهي تتطلب بعض الجهد وعليه يجب على الباحث مواجهتها من خلال الإلمام العلمي الكامل بمعايير عدة يمكن استخدامها وذلك لتجاوز العيوب التي تعاني منها بعض المعايير المستخدمة،وصولاً "إلى النموذج الملائم". وحيث إن كل معيار له سلبياته وإيجابياته فقد يميل الباحث إلى معيار معين له سلبية بدرجة معينة لا يعتبرها سبباً "لعدم اختيار هذا المعيار أساساً" للاعتماد عليه في الوصول إلى النموذج النهائي الملائم وذلك لتوافر ايجابيات فيه يُعدّ وجودها مؤشراً "جيداً" في الوصول إلى النموذج المناسب إلى جانب ايجابيات المعايير الأخرى ، في حين إن باحثاً آخر يعتبر إن توافر هذه السلبية في هذا المعيار المعين له درجة كبيرة من الضرر بحيث لا يسمح له تجاهلها على الرغم من وجود ايجابيات في المعايير الأخرى ، لذلك فان الاختلاف في وجهات النظر بين الباحثين يفضي إلى أن تكون درجة قبول النموذج النهائي مختلفة من باحث إلى آخر

بسبب اختلاف وجهات النظر في محاسن ومساوئ المعايير الإحصائية والهندسية التي ستنطرق إليها مع الإشارة إلى مزايا وعيوب كل منها والتي س يتم الاعتماد عليها مجتمعة وبصورة متوازنة في تحديد النموذج النهائي .

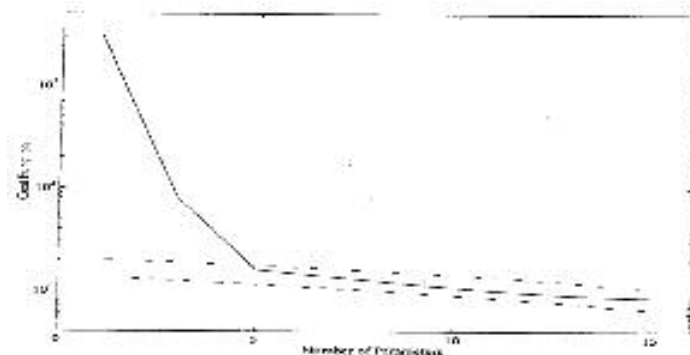
والمعايير التي يمكن أخذها كرزمة في اختيار جودة النموذج هي:

Cost Function	1 - دالة الكلفة
Final Prediction Error	2 - خطأ التنبؤ النهائي
Akaike's Information Criterion	3 - معيار اكاكي للمعلومات
Fitting	4 - المطابقة
Impulse Response	5 - الاستجابة النبضية
Stability	6 - الاستقرارية

### Cost function

### 1 - دالة الكلفة

يطلق عليها أيضاً "دالة الخسارة" Loss Function او دالة المخاطرة Risk Function (ينظر (Eykhoff 1981 , Ljung 1999)). ان الاساس في اختبار رتبة النموذج هو ملاحظة تصرف دالة الكلفة في حالة تزايدها وتاثير ذلك في رتبة النموذج ، اذ ان دالة الكلفة تكون في حالة تناقص مع زيادة رتبة النموذج والشكل الاتي يبين تناقص دالة الكلفة كلما زادت رتبة النموذج



الشكل (5) : مخطط دالة الكلفة

وهذا التناقص في دالة الكلفة يتوقف عند نقطة معينة، وهذا يعني إن عملية زيادة رتبة النموذج تصبح عديمة الفائدة . هذا ما يخص مزايا هذه الدالة ، أما مساوئها فهي يمكن أن تعطي عدداً كبيراً من المعلومات بشكل غير معقول ، كذلك يمكن أن

نتوصل إلى نموذج يكون غير مستقر ويكون مطابقاً "لبيانات بينما البيانات جُمعت من نظام هو بالأساس يُعرف بأنه نظام مستقر، بمعنى إن النموذج يكون غير مقبول بالنسبة إلى النظام مستقر. فضلاً عن ذلك فقد تكون الجذور والأقطاب للنموذج كبيرة وتغطي منطقة غير مؤكدة بالنسبة إلى النموذج . إن هذه المساوىء قد تكون سبباً في اختيار رتبة للنموذج بطريقة خطأ لذلك فإن الحد الفاصل في هذا يكون للبواقي ، فنقوم بفحص النموذج عن طريق النظر إلى الخواص الإحصائية للبواقي والتي تكون تقريباً" مستقلة ذات توزيع طبيعي بوسط حسابي مساوٍ إلى الصفر وتباعين مقداره  $\frac{5}{9}$ . هذا الفحص يكون بصرياً" ويعطينا تصوراً" عن سير العملية . ويمكن حساب كلفة النموذج :

$$V_N(k) = \frac{1}{2} \sum_{t=1}^N e_t^2 \quad (27)$$

حيث إن :

$V$  : تمثل الكلفة .

$k$  : عدد المعلمات .

$N$  : مشاهدات السلسلة .

## 2- مقاييس اكاكى للمعلومات Akaike's Information Criterion:

يرمز لهذا المقياس بالرمز AIC(k) الذي اقترحه Akaike في العام 1969 وذلك لاختيار الرتبة الملائمة للنموذج ARIMA(p,d,q) من بين عدة نماذج أي ان الرتبة التي تقابل اقل قيمة لمعيار AIC تكون هي الرتبة الأكثر ملاءمة للمشاهدات. وهذا المقياس يساوي ضعف عدد المعلمات ناقصاً" ضعف دالة الامكان الأعظم. ورياضياً" يُعبر عنه :

$$(28) \quad AIC(k)=2k-2\ln L$$

حيث إن :

$k$  : عدد معلمات النموذج.  $L$  : تمثل دالة الامكان الأعظم .

وقد تم تعديل هذا المقياس إلى صيغة أخرى بسبب إن معظم الحاسبات لا تستخدم صيغة دالة الامكان الأعظم لكنها تستخدم صيغة  $(\sigma_e^2)$  لذلك أستطيع منعها لسهولتها في الاستخدام، والصيغة المعدلة هي:

$$(29) \quad AIC(k) = 2k + n \ln \sigma_e^{^2}$$

من ناحية أخرى فلهذا المقياس سلبيات يجب أن تؤخذ بنظر الاعتبار منها، انخفاض قيمته مقابل عدد مفرط للمعلمات وقد تكون بعض المعلمات ليس لها أهمية في حالة إضافتها إلى النموذج، كذلك فان هذا المقياس لا يأخذ بنظر الاعتبار حالة الاستقرارية للنموذج ، ولهذا السبب يجب أن نضع مقاييس أخرى إلى جانب هذا المقياس لتقاديم السلبيات في أعلاه .

### 3- خطأ التنبؤ النهائي لأكاكي Akaike's Final Prediction Error

يرمز لهذا المعيار بـ FPE . أول من وصف هذا المعيار هو اكاكي (1969) على انه مقياس لخطأ التنبؤ النهائي ويُعرف على انه تباين خطأ التنبؤ النهائي لفترة قادمة ويعحسب بالطريقة الآتية: (يُنظر Wei (1990) و Eykhoff (1981) و Ljung (1999) والبد راني (2002))

$$(30) \quad FPE(k) = \frac{\frac{1+k/n}{1-k/n} - \frac{1}{n} \left[ \sum_{t=1}^n e_t^2 \right]}{\frac{1+k/n}{1-k/n} \sigma_e^{^2}}$$

حيث إن :

$k$  : عدد معلمات النموذج .  $n$  : عدد مشاهدات السلسلة .

$\sigma_e^{^2}$  : تباين الخطأ.

وعليه فان :

$$(31) \quad FPE(k) = \min FPE(k)$$

وإذا كانت  $n$  كبيرة Large فان ذلك يؤدي إلى :

$$\left. \begin{aligned} n \ln FPE &\approx n \ln \hat{\sigma}_e^2 + n \ln \frac{1+k/n}{1-k/n} \\ &= n \ln \hat{\sigma}_e^2 + 2k \end{aligned} \right\} . \min(AIC) \quad (32)$$

ولهذا فان  $\min(FPE)$  يكافيء  $\min(AIC)$

لهذا المعيار عيوب مشابهة لعيوب AIC من حيث الزيادة في عدد المعلمات وصولاً إلى أقل تباين لخطأ التنبؤ فضلاً عن عدم مراعاة استقرار النموذج لذلك فان النموذج الذي يعطي أقل FPE لا يشترط أن يكون هو الأفضل إلا إذا تحققت جميع الشروط من حيث الاستقرارية والملاءمة الخاصة بالنماذج.

#### 4 - المطابقة Fitting

هي مقياس لمعرفة دقة النموذج (كنسبة مئوية) الذي تم تكوينه من مجموعة معينة من المشاهدات وبعد تكوين النموذج برتبة معينة حيث تتم عملية محاكاة لهذا النموذج ومقارنته المخرجات المولدة  $\hat{y}_i$  مع المخرجات المخزونة (الحقيقية)  $y_i$  ومن ثم حساب النسبة المئوية للتواافق بينها من خلال القانون الآتي :

(ينظر (Ljung 2002) والبد راني (2002))

$$fit = \left( 1 - \sqrt{\frac{\sum_{i=1}^N (y_i - \hat{y}_i)^2}{\sum_{i=1}^N (y_i - \bar{y})^2}} \right) * 100 \quad (33)$$

حيث أن :

$y_i$  : قيم المخرجات الحقيقية .  $\hat{y}_i$  : القيم التقديرية المكونة من النموذج.  
 $\bar{y}$  : الوسط الحسابي لمشاهدات سلسلة المخرجات  $y$  المستخدمة في تكوين النموذج .

## 5- الاستجابة النبضية Impulse Response

بافتراض أن  $y_t$  سلسلة مرحلية Stationary وان  $y_t$  تمثل سلسلة المخرجات  $u_t$  تمثل سلسلة المدخلات مرتبطتين من خلال مرشح خطى Linear : Filter

$$y_t = g(Z)u_t + \eta_t \quad (34)$$

حيث إن:

$$g(Z) = \sum_{j=0}^{\infty} g_j Z^j \quad (35)$$

تمثل دالة التحويل.

$\eta_t$  : سلسلة تشويش النظام وهي مستقلة عن سلسلة المدخلات  $u_t$ .

إن المعادلة (34) تسمى عادة بمعادلة دالة التحويل Box and Jenkins,(1976)) وان المعاملات في نموذج دالة التحويل(34) تسمى بأوزان الاستجابة النبضية Impulse Response Weights وهي تمثل الأثر الذي يحدث على  $y_t$  نتيجة لتغير  $u_t$  بوحدة واحدة

ويسمى الشكل البياني لهذه الأوزان باسم دالة الاستجابة النبضية Impulse Response Function (فاندل،1992))

## 6- الاستقرارية في السلسلة الزمنية

عبر Priestley(1981) عن الاستقرارية بكلمة Stablished وبين ذلك كل من Wegmon(1998) و Box and Jenkins(1976) من خلال نموذج ARMA(p,q) الآتي:

$$u_t = \varphi_1 u_{t-1} + \dots + \varphi_p u_{t-p} + a_t - \theta_1 a_{t-1} - \dots - \theta_q a_{t-q} \quad (36)$$

ويمكن إعادة صياغة النموذج كما ياتي :

$$\left. \begin{aligned} (1-\varphi_1 Z - \varphi_2 Z^2 - \cdots - \varphi_p Z^p) u_t &= (1-\theta_1 Z - \cdots - \theta_q Z^q) a_t \\ \varphi(Z) u_t &= \theta(Z) a_t \end{aligned} \right\} \quad (37)$$

ف تكون العملية مستقرة Stability من الناحية الرياضية إذا كانت جذور Zeros المعادلة  $\varphi(Z)=0$  تقع خارج دائرة الوحدة Unite Circle وكانت الجذور المميزة  $(\lambda_j)$  - Eigen Roots - لهذه المعادلة والتي تسمى الأقطاب Poles تقع داخل دائرة الوحدة ، فضلا عن وقوع المعلمات  $\varphi_1, \varphi_2, \dots, \varphi_p$  ضمن الشروط الخاصة بها والتي تكون قيمها اقل من قيمة محددة حسب رتبة العملية AR وهذا الكلام ينطبق على  $\theta(Z)$  من حيث ان جذور المعادلة  $\theta(Z)=0$  تقع خارج دائرة الوحدة وان جذورها المميزة أو الأقطاب تقع داخل دائرة الوحدة لكي تكون العملية مستقرة فضلا عن وقوع المعلمات  $\theta_i$  ضمن الحدود الخاصة بها .

اما من الناحية الهندسية فينصب اهتمام المهندسين في موضوع الاستقرارية على موقع الأقطاب أكثر من اهتمامهم بوقوع الجذور خارج دائرة الوحدة أو داخلها . وقد أشار Harman (2000) إلى إن النظام يكون مستقراً إذا كان كل قطب Pole يمتلك قيمة اقل من الواحد وهذا يعني ان كل قطب يجب أن يقع داخل دائرة الوحدة لتحقيق الاستقرارية .

## 5- بناء نموذج دالة التحويل باستخدام نماذج الصندوق الاسود :

بتوفيق من الله سبحانه وتعالى تم الحصول على بيانات من معمل سمنت بادوش غربي الموصل (2004) اذ إن هذا المعمل يقوم بإنتاج مادة الإسمنت الداخلة كمادة رئيسية في عملية البناء . إن تكوين الإسمنت يعتمد على عدد من المدخلات المتمثلة بالمواد الكيميائية المتوافرة بصورة طبيعية في المادة الأساسية للإسمنت من الحجر والطين مثل ثالث اوكسيد الكبريت  $S_3O_3$  واوكسيد المنغنيسيوم  $MgO$  وثنائي اوكسيد السيليكون  $SiO_2$  واوكسيد الكالسيوم  $Cao$  الخ. في حين إن المخرجات التي تفاصس ضمن مادة الإسمنت مكونة من متغيرات فيزيائية

متعددة مثل النعومة وقوه الصلابة والتمدد الخ (ينظر(نيفيل 1985) ) . إن الباحثة عمدت إلى اخذ زوج من متغيرات الإدخال ومتغير واحد من المخرجات حيث تمثلت المدخلات بأوكسيد المنغنيسيوم MgO والكلس الحر Frl ، في حين إن المخرجات تمثلت بمتغير التمدد Autoclave كتطبيق عملي لبناء نموذج دالة التحويل .

ان طريقة بناء نماذج الصندوق الاسود تتم بتوفيق نماذج متعددة بمعملات مختلفة لكل نموذج من النماذج الحركية الاربعة BJ,OE,ARMAX,ARX واختيار النموذج الافضل باستخدام معايير اختيار النموذج الاحصائية والهندسية من حيث الاستقرارية وقيمة AIC والمعايير الاخرى . اما طريقة بناء نموذج دالة التحويل لكل نموذج فتتم ايضا" كما اشرنا بطريقة توفيقية لكل رتبة معلمة مع الاخذ بنظر الاعتبار معايير اختيار النموذج الافضل ، فلو فرضنا اننا نريد بناء نموذج دالة التحويل حسب نموذج ARX فان الصيغة العامة هي :

$$A(Z)y_t = B(Z)u_{t-nk} + e_t \quad (38)$$

حيث ان  $nk, nb, na$  تمثل معلمات النموذج . ولتحديد رتبة هذه المعلمات، نجري عملية توفيق لكل رتبة من 1-10 (اما اذا زمن التأخير فان العملية التوافقية تكون من 0-10) كل على حدة، بعد تثبيت رتبة المعلمات الاخرى حسب الجدول الآتي:

الجدول (1) : توضيح لاختيار زمن التأخير بطريقة توفيقية بالاعتماد على  
المعايير الاحصائية والهندسية

na	nb	nk	Loss. Fun.	FPE	AIC	Fit	Impulse	Unite.C
1	1 1	0 0	0.0161	0.017	-4.071	18%	تجه	x بالمراكز
		1 0	0.0161	0.0170	-4.0712	21%	تجه	x بالمراكز
		2 0	0.0160	0.0169	-4.0751	20%	تجه	x بالمراكز
		3 0	0.0160	0.0169	-4.0754	19%	تجه	x بالمراكز
		.		.	.	.	.	.
		.		.	.	.	.	.
		.		.	.	.	.	.
		10 0	0.0146	0.0155	-4.1656	40%	تجه	x بالمراكز

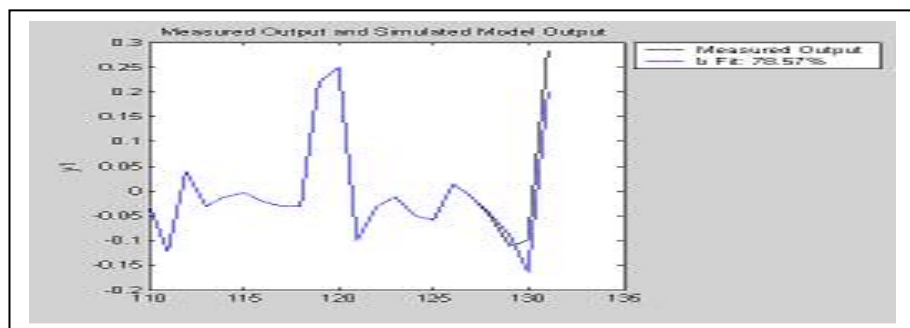
ف عند تحديد زمن التأخير لمتغير الادخال اوكسيد المنغنيسي، نقوم بعملية توفيق من (10-0) مع تثبيت رتبة المعلمات الاخرى . ومن الجدول (1) ، يتبين ان زمن التأخير 10 يعطي اقل قيمة لدالة الكلفة مع تحقق افضل النتائج لبقية المعايير اذا ما قورنت مع النتائج الاخرى عند بقية الاذمنة. وبعد تحديد زمن التأخير لمتغير الادخال الاول بـ 10 ، ثبت هذا الزمن ونجري عملية توفيق مرة اخرى لتحديد زمن التأخير لمتغير الادخال الثاني مع تثبيت رتبة المعلمات الاخرى، وهكذا بالطريقة نفسها يتم تحديد رتبة المعلمات الاخرى حتى نصل الى النموذج النهائي و كاننا في هذه الحالة تكون قد كوننا عدة نماذج ARX برتب معلمات مختلفة، هذه النماذج نختبرها من ناحية تجاوزها للفحص الاحصائي الذي يتم من خلال اختبار سلسلة البوافي واستقلالها عن المدخلات، وبعد ذلك نستبعد النماذج

التي فشلت في هذا الاختبار وتكون المقارنة للنماذج التي تجاوزته، فاذا كانت نتائج المعايير لكل نموذج متقاببة بعضها من بعضها الآخر، فنختار النموذج الذي تكون معالمه اقل، اما اذا لم تكن كذلك فتكون الافضلية للنموذج الذي يحقق افضل نتائج للمعايير وهذا الكلام ينطبق ايضاً على اختيار النموذج الافضل من بين النماذج الاخرى BJ,OE,ARMAX (ينظر Ljung(1999)، وهذا ما اعتمد في تحديد النموذج بالاعتماد على اقل دالة كلفة وافضل نسبة مطابقة واقل قيمة لـ AIC و FPE مع تحقق الاستقرارية. والجدول الاتي يبيّن افضل نموذج لكل من النماذج الاربعة.

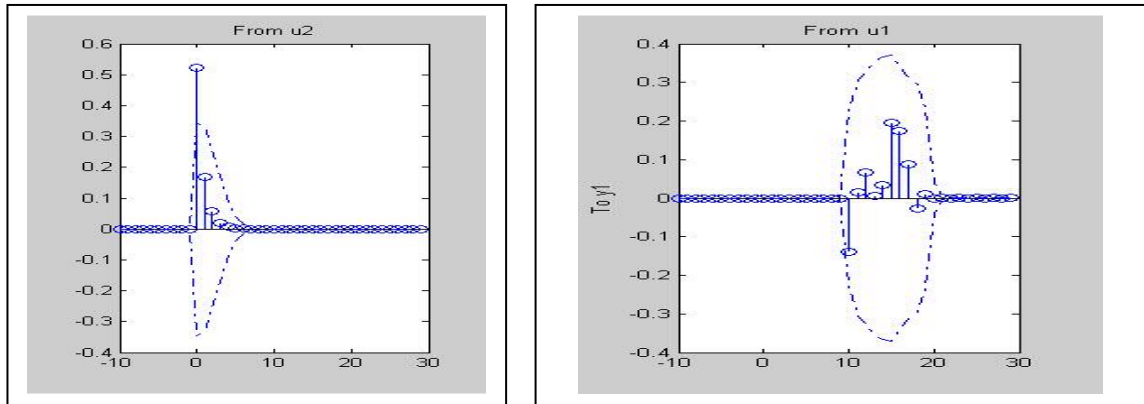
الجدول (2) : افضل الاختيارات لكل من النماذج الحركية الاربعة

معلومات النماذج والمعايير المستخدمة	ARX	ARMAX	OE	BJ
<b>na</b>	<b>2</b>	<b>1</b>		
<b>nb</b>	<b>8 1</b>	<b>7 2</b>	<b>7 3</b>	<b>10 2</b>
<b>nk</b>	<b>10 0</b>	<b>10 0</b>	<b>10 0</b>	<b>10 0</b>
<b>nc</b>	-	<b>9</b>	-	<b>6</b>
<b>nd</b>	-	-	-	<b>1</b>
<b>nf</b>	-	-	<b>1 1</b>	<b>1 1</b>
<b>Loss.Fu n.</b>	<b>0.0107</b>	<b>0.0079</b>	<b>0.0120</b>	<b>0.0073</b>
<b>FPE</b>	<b>0.0131</b>	<b>0.0154</b>	<b>0.0207</b>	<b>0.0166</b>
<b>AIC</b>	<b>-4.3325</b>	<b>-4.1912</b>	<b>-3.8862</b>	<b>-4.1357</b>
<b>Fit</b>	<b>60%</b>	<b>51%</b>	<b>54%</b>	<b>78%</b>
<b>Impulse</b>	تجه	تجه	تجه	تجه
<b>Unite Cir.</b>	o, x : u1 وسط تقرب من الحدود في الوسط o,x : u2	o, x : u1 داخل، خارج وعلى الحدود o,x : u2 داخل	o, x : u1 داخل، قريبة من الحدود o,x : u2 داخل	o, x : u1 داخل، داخل وخارج o, x : u2 داخل
<b>residual</b>	غير مترابطة	غير مترابطة	غير مترابطة	غير مترابطة

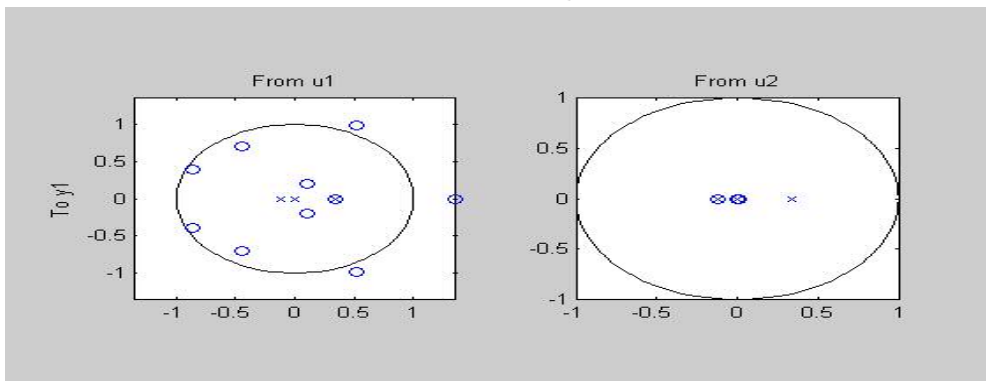
من الجدول (2) نجد ان كل النماذج تجاوزت الفحص الاحصائي المتمثل باختبار البوافي من حيث كونها غير مترابطة فضلا عن ان سلسلة البوافي مستقلة عن المدخلات، لذلك تكون المقارنة بين هذه النماذج بالاعتماد على المعايير التي تحقق افضل نتيجة، بسبب ان نتائج المعايير تكاد تكون متقاربة. ومن الجدول يتبين ان افضل نموذج هو نموذج BJ ذو المعلمات  $(nb=[10\ 2], nk=[10\ 0], nc=6, nd=1, nf=[1\ 1])$  حيث انه يعطي اقل كلفة مع اعلى نسبة مطابقة وهي 78% ،اما بالنسبة الى المعيارين AIC و FPE فانهما يمثلان قيمًا "مقبولة قياسا" بالنماذج الاخرى الى جانب تحقق المعايير الاخرى بصورة جيدة. والشكل رقم (9.1) يوضح نسبة المطابقة وتوجه الاستجابة النبضية نحو الاستقرارية، فضلا عن رسم دائرة الوحدة التي تحتوي على جذور واقطاب نموذج BJ بالمعلمات  $: nb, nc, nd, nk, nf$



(a) : رسم توضيحي لنسبة المطابقة(78%) لنموذج BJ



(b) : دالة الاستجابة النبضية لنموذج BJ



(c) : دائرة الوحدة وموقع الاصفار والاقطب لدالة تحويل نموذج BJ

الشكل (6): اشكال استقرارية نموذج BJ مع نسبة المطابقة c,b,a:

#### الاستنتاجات :

1- ان بناء نموذج دالة التحويل من خلال نماذج الصندوق الاسود قدم نتائج جيدة لانها قد تعتمد على شيء من الخبرة، لكنها في المقابل تعتمد الى حد كبير على مقاييس ومعايير محددة يمكن الاعتماد عليها في تحديد رتب النموذج .

2- خلال مراحل التطبيق العملي لوحظ ان موقع القطب يؤثر في شكل استقرارية الاستجابة النبضية، فكلما كان القطب في مركز دائرة الوحدة او قريباً من المركز فان شكل الاستجابة النبضية يتوجه بصورة منتظمة نحو الاستقرارية، اما اذا كان القطب يقترب من حدود دائرة الوحدة او وقع على حدودها فان ذلك يؤثر

في شكل استقرارية الاستجابة النبضية، حيث يُلاحظ من شكل الاستجابة النبضية انها لاتتجه نحو الاستقرارية بالشكل المرغوب فيه .

3- ان استخدام المعايير الاحصائية والهندسية في اختيار النموذج الافضل يتطلب استيعاباً "وفهما" جيداً لهذه المعايير لانه من الممكن ان نحصل على قيمة لمعيار احصائي بصورة جيدة مثل قيمة منخفضة جداً لمعيار AIC ، ولكن من الجانب الهندسي يكون النظام غير مستقر، والاستقرارية شرط اساسي مطلوب تتحققه ، لذا وجب ان يكون الباحث على دراية وفهم كبيرين عند التعامل مع هذه المعايير.

#### المصادر:

1. أي.ام.بنيفيل (1985) . " خواص الخرسانة "،ترجمة المهندس حقي اسماعيل محمد الجنابي، مدرس مساعد، المعهد الفني في البصرة، حقوق الطبع والنشر محفوظة لمؤسسة المعاهد الفنية .
2. البدرياني، ظافر رمضان (2002) . " دراسة في تشخيص نظم السيطرة التصادفية مع إشارة خاصة إلى أسلوب فضاء الحالة والاستقرارية " ، أطروحة دكتوراه ، كلية علوم الحاسوبات الرياضيات ، جامعة الموصل ، العراق .
3. فاندل، والتز(1992) . " السلسل الزمنية من الوجهة التطبيقية ونماذج بوكس - جنكنز " ، ترجمة عبد المرضي حامد عزام ، دار المريخ للنشر ، الرياض ، المملكة العربية السعودية .
4. Bishop , R.H. (1997) . " Modern Control System .Analysis and Design Using MATLAB and SIMULINK " , Addison Wesley Longman ,Inc .
- 5.Box,G.E.P.and Jenkins, G.M.(1976). "Time Series Analysis , Forecasting and Control " ,2<sup>nd</sup> ed., Holden-Day, San Francisco,U.S.A.7
6. Davis , M . H . A . and Vinter ,R . B . (1985) . " Stochastic Modeling and Control " , Chapman and Hall , London .

7. Eykhoff , Peter , (1981) . " Trend System Identification " , Department of Electrical Engineering Eindhoven University of Technology Nether Lands .
8. Harman , Thomas L . Dabney , James, Richard , Norman (2000), " Advanced Engineering Mathematics with MATLAB ".
9. Kanjilal , P. P. (1995). " Adaptive Prediction and Predictive Control " , Peter peregrinus Ltd. , London .
10. Kamen ,E. (1987) . "Introduction to Signal and Systems", Macmillan Publishing Company, New York, U.S.A.
11. Ljung , L. (1999) . " System Identification-Theory for the User " , 2<sup>nd</sup>.ed., Prentice Hall, Upper Saddle River, N.J.London,UK
- 12.Makridakis, S., Wheel Wright, S. and McGee, E. (1983) . " Forecasting . Methods and Application " ,2<sup>nd</sup> ed. , John Wiley&Sons , New York , U.S.A.
13. Makridakis, S., Wheel Wright , S. and Hydman , R. (1998)." Forecasting . Methods and Application " , 3<sup>rd</sup> . ed. , John Wiley & Sons , New York , U.S.A.
14. Nelles,Oliver.(2001) . " Non Linear System Identification " , Springer-Verlag Berlin Heidelbero,Germany .
15. Priestley , M. B. (1981) . " Spectral Analysis and Time Series " , Academic PRESS , London , UK.
- 16.Sderstrom,T. and Stoica , P. (1989)." System Identification" Printed and bound in Great Britain at the University Press, Cambridge.
17. Wei , W. W. S. (1990) . " Time Series Analysis – Univariate and Multivariate Methods " , Addision – Wesley Publishing Company , Inc. , The Advanced Book Program , California, U.S.A.
18. Wegmon. Edward. J ,(1998) . " Time Series Analysis Theory " , Data Analysis and Computation .